

УДК 548.732

ВЛИЯНИЕ ДИСЛОКАЦИЙ НЕСООТВЕТСТВИЯ НА БРЭГГОВСКУЮ ДИФРАКЦИЮ РЕНТГЕНОВСКИХ ЛУЧЕЙ ОТ ГЕТЕРОСТРУКТУР

P. H. Кютт, T. C. Аргунова

Методом трехкристального спектрометра изучен характер брэгговской дифракции рентгеновских лучей в эпитаксиальных структурах на основе соединений GaSb и InP с дислокациями несоответствия и без них. Показано, что дислокационные сетки вызывают уширение дифракционной картины в обратном пространстве в направлении, перпендикулярном вектору обратной решетки H . Из характера рассеяния вытекает, что поля смещений дислокационных сеток распространяются аномально далеко как к поверхности пленки, так и в глубь подложки. Различный вид трехкристальных кривых для систем с дислокациями несоответствия и без них позволяет фиксировать наличие дислокационных сеток в кристалле. Построение распределения интенсивности вдоль вектора H дает возможность исключить влияние дислокаций несоответствия и повысить разрешение рефлексов от пленки и подложки.

Один из основных методов изучения структуры поверхностных слоев монокристаллов основан на измерении кривых брэгговского отражения рентгеновских лучей. Получаемые при этом данные позволяют характеризовать деформации и напряжения в системе пленка — подложка [1–3], определять профиль деформации по глубине [4, 5], а также контролировать структурное совершенство эпитаксиальных пленок [6].

Одним из наиболее распространенных видов несовершенств в эпитаксиальных структурах являются сетки дислокаций несоответствия. Известно, что дислокации произвольной конфигурации, хаотически распределенные в объеме кристалла, вызывают уширение кривых дифракционного отражения [7, 8]. Априори считается, что дислокационные сетки в гетероструктурах вызывают аналогичный эффект. Однако детально их влияние на характер брэгговской дифракции не изучено. В литературе рассматривался лишь вопрос о соотношении тангенциальных и нормальных компонент деформации, получаемых из брэгговских кривых [3], в зависимости от присутствия дислокационных сеток.

Настоящая работа посвящена изучению дифракции рентгеновских лучей в гетероэпитаксиальных системах. Поскольку получаемые на двухкристальном спектрометре кривые брэгговского отражения содержат интегральную (по углу выхода) информацию, представляется целесообразным использовать дифференциальную дифрактометрию, реализуемую на трехкристальном спектрометре [9], что позволяет получать двухкоординатную развертку интенсивности в плоскости рассеяния. Исследовались кристаллы InP с эпитаксиальными пленками InGaAsP (ориентация поверхности (100)) и кристаллы GaSb с пленкой $\text{Ga}_{1-x}\text{Al}_x\text{Sb}$ (ориентация поверхности (111)). Пленки были выращены жидкофазной эпитаксией, их толщина составляла величины от 1.5 до 6 мкм.

Измерения проводились на трехкристальном спектрометре, использовались симметричные брэгговские отражения (400), (111) и (333) MoK_α и CuK_α излучения. Трехкристальные кривые снимались двумя способами: с вращением анализатора при неподвижном образце, отведенным на фиксированный угол α от центра интерференционной области [9], и

с вращением образца при фиксированном угле $\Delta\vartheta$ анализатора [10]. В качестве монохроматора и анализатора использовались совершенные кристаллы кремния с отражениями, соответствующими отражению образца. Присутствие дислокационных сеток фиксировалось с помощью рентгеновских топограмм, снятых по методу Берга—Барретта—Ньюкирка.

Двухкристальные кривые отражения, измеренные на $\text{Mo } K_{\alpha}$ излучении, имеют одинаковую форму, на них видны два максимума — от пленки и подложки — для бездислокационных (*a*) и дислокационных (*b*) образцов

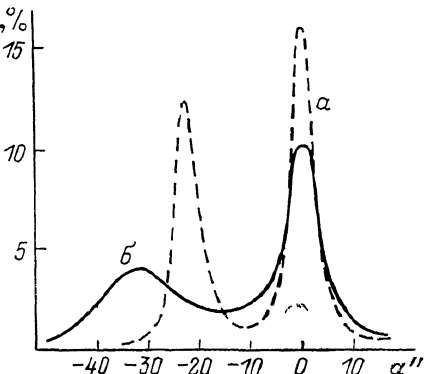


Рис. 1. Двухкристальные кривые брэгговского (333)-отражения, $\text{Mo } K_{\alpha}$ излучения от кристаллов GaSb с эпитаксиальной пленкой $\text{Ga}_{1-x}\text{Al}_x\text{Sb}$ ($x=0.06$).

(рис. 1; $t=1.5$ и 2 мкм соответственно). В последнем случае пики более широкие. Однако ширина максимума не является свидетельством наличия дислокационной сетки, поскольку она зависит как от толщины пленки, так и от других факторов (например, изгиба или неравномерности состава вдоль поверхности образца). Из расстояния между пиками была определена величина несоответствия параметров решетки, которая менялась от

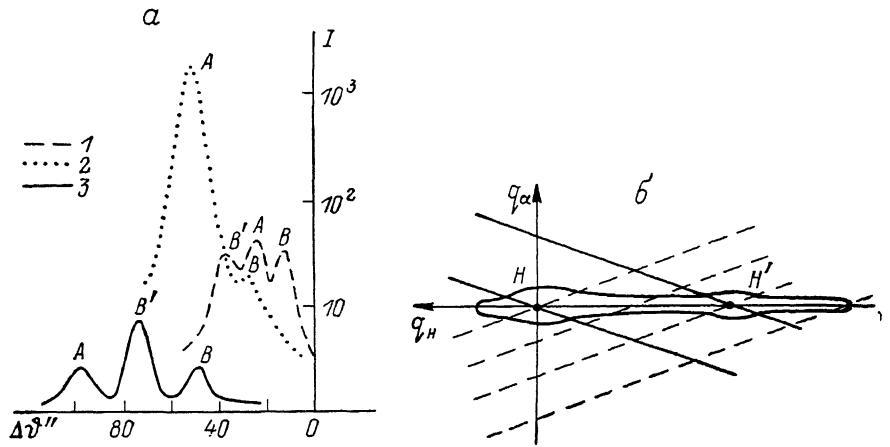


Рис. 2. Трехкристальные кривые от образца $\text{GaAlSb}/\text{GaSb}$ (*a*) и схема распределения когерентной интенсивности в обратном пространстве (*b*).

a: $t=1.5$ мкм, (333)-отражение, $\text{Mo } K_{\alpha}$ излучение. $\alpha=-14''$ (1), $-28''$ (2), $-53''$ (3); *b*: штриховые линии — соответствующие приведенным кривым сечения плоскости рассеяния. Вдоль сплошных линий локализована интенсивность псевдопиков.

образца к образцу в пределах $\Delta d/d=-(1.0 \div 1.4) \cdot 10^{-3}$ для InGaAsP и $(4.2 \div 7.9) \cdot 10^{-4}$ для GaAlSb .

Полученные трехкристальные кривые (по схеме с вращением анализатора) для структур с дислокациями несоответствия и без них имеют принципиально различный вид. Пример таких кривых для образца без дислокационной сетки приведен на рис. 2, *a*. Из этого рисунка видно, что при различных углах отклонения образца наблюдается максимум (*A*), который занимает различные угловые положения, соответствующие углу $\Delta\vartheta=-2\alpha$, где α отсчитывается от центра интерференционной области подложки. Интенсивность этого пика изменяется в зависимости от близости к брэгговскому положению для пленки или подложки. Кроме этого пика на кривых видны также так называемые псевдопики (*B* и *B'*) от

пленки и подложки. Смещение по закону $\Delta\vartheta = -2\alpha$ характерно для когерентного максимума на трехкристальных кривых. Соответствующее распределение интенсивности в обратном пространстве (рис. 2, б) вытянуто вдоль направления вектора обратной решетки \mathbf{H} и имеет максимумы в точках H и H' — узлах обратной решетки подложки и пленки. Такая форма линий равной интенсивности, локализованных вдоль нормали к поверхности кристалла (которая совпадает в симметричной брэгговской геометрии с направлением \mathbf{H}), указывает на когерентный характер рассеяния системой подложка—пленка, когда в ней не возникает дислокаций несоответствия. Топограммы подтверждают отсутствие дислокационной сетки. Аналогичные кривые отражения имели место и для других бездислокационных структур.

При наличии дислокационной сетки на трехкристальных кривых для всех исследованных образцов наблюдаются два четко разделенных пика, угловое положение которых не меняется при изменении угла α . Один из них находится в положении $\Delta\vartheta = 0$, а другой при $\Delta\vartheta = -2\Delta\alpha$.

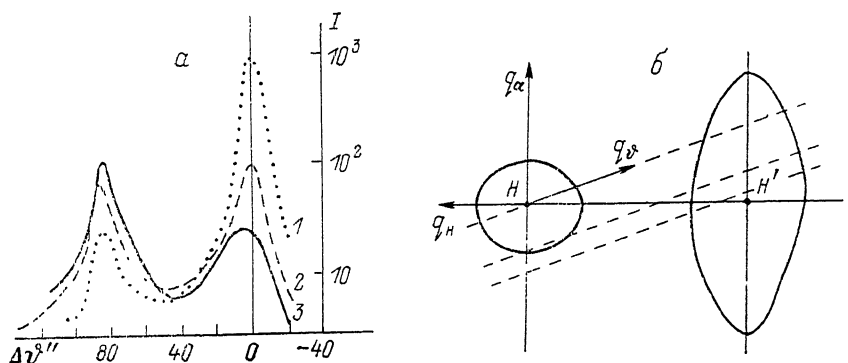


Рис. 3. Трехкристальные кривые для образца GaAlSb/GaSb (а), схема распределения интенсивности в обратном пространстве (б).

а: $t=2$ мкм, (333)-отражение, MoK_α излучение. Слева — пик от подложки, справа — от пленки. $\alpha=0$ (1), $-25''$ (2), $32''$ (3).

где $\Delta\alpha = -(\Delta d/d) \operatorname{tg} \vartheta_B$ — обусловленное несоответствием расстояние между двумя максимумами на двухкристальной кривой (рис. 3, а). Следовательно, один из них представляет собой отражение от подложки, другой — от пленки. Их интенсивности зависят от близости к соответствующим узлам обратной решетки.

Соответствующий вид распределения в обратном пространстве представлен на рис. 3, б. Рассеяние от системы с дислокационной сеткой разделяется на две части, сосредоточенные около узлов обратной решетки подложки H и пленки H' и вытянутые в направлении, перпендикулярном \mathbf{H} (ср. с рис. 2, б). Это напоминает дифракционную картину от мозаичных кристаллов, где взаимные разориентации блоков приводят к колебанию локальных значений \mathbf{H} по направлению и «размазыванию» рассеяния по нормали к вектору обратной решетки.

Различный характер рассеяния для гетероструктур с дислокациями несоответствия и без них дает возможность путем измерения нескольких трехкристальных кривых определять присутствие дислокационной сетки по изменению углового положения пиков на этих кривых.

Таким образом, влияние дислокаций несоответствия на брэгговскую дифракцию сводится к уширению дифракционной картины в перпендикулярном к вектору \mathbf{H} направлению. Степень этого уширения можно определить, измеряя кривые при неподвижном анализаторе с вращением образца i (а), которые представляют собой развертку интенсивности по прямым, параллельным оси q_α в плоскости рассеяния. Значения полуширины этих кривых, снятых при прохождении через узел обратной решетки подложки ($\Delta\vartheta = 0$) и пленки ($\Delta\vartheta = -2\Delta\alpha$), приведены в таблице наряду

с полуширинами W_ϕ максимума от пленки на кривых $i(\phi)$, измеренных с вращением анализатора. Из таблицы видно, что кривые $i(\alpha)$ для дислокационных кристаллов много шире. При этом отражение от подложки уширяется гораздо меньше, чем от пленки.

Характерной особенностью трехкристальных кривых $i(\phi)_{\alpha=\text{const}}$ от образцов с дислокационной сеткой является отсутствие на них когерентного пика в положении $\Delta\phi = -2 \alpha$. Это отличает их от аналогичных

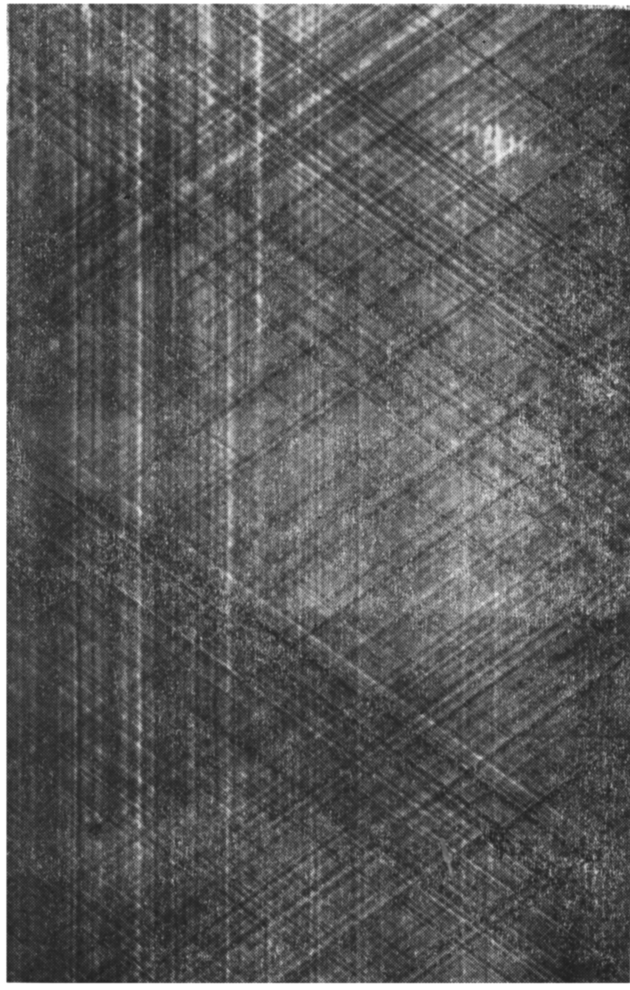


Рис. 4. Топограмма образца GaAlSb/GaSb. 444-отражение, $\text{Cu}K_\alpha$ излучение.

кривых, которые наблюдаются обычно для монокристаллов с комплексами точечных дефектов и с хаотическими дислокациями (плотность $< 10^6 \text{ см}^{-2}$), где максимум диффузного рассеяния от дефектов имеет место наряду с когерентной компонентой. Такой вид кривых говорит об отсутствии сколько-нибудь заметной интенсивности, локализованной вдоль оси q_H , где должно быть сосредоточено когерентное рассеяние от совершенных областей кристалла. Отсюда следует, что практически вся интенсивность, рассеянная пленкой, содержится в уширенном в направлении q_α рефлексе около H' , а интенсивность от подложки — в уширенном рефлексе около H . С другой стороны, как показали электронно-микроскопические и рентгенотопографические исследования (характерный пример топограммы для системы GaAlSb/GaSb представлен на рис. 4), сетка дислокаций в данных кристаллах сосредоточена вблизи гетерогра-

Значения полуширины максимумов (в секундах)
на трехкристальных кривых для образцов GaAlSb/GaSb

Образец	(333), MoK _α			W _α II
	W _θ II	W _α II	W _α подл.	
Без сетки, t=15 мкм	7	5—6	5—6	6—8
С дислокацией сеткой t=2 мкм	7	55	10	65
t=6 мкм	8—10	40	18	45

ници. Таким образом, упругие поля дислокационной сетки, обусловливающие уширенное дифракционное отражение, не локализованы вблизи нее, а простираются достаточно далеко вплоть до поверхности пленки, а также в глубь подложки.

Наглядно этот вывод подтверждается видом трехкристальных кривых (111)-отражения, измеренных на Cu K_α излучении для структуры GaAlSb/GaSb с толщиной пленки около 6 мкм (рис. 5). В этом случае из-за большого

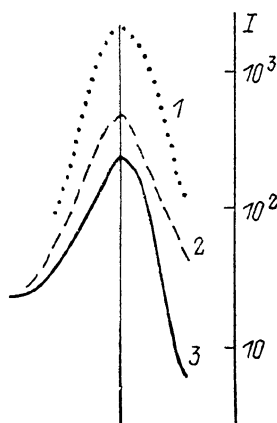


Рис. 5. Трехкристальные кривые для образца GaAlSb/GaSb.
t=6 мкм, (111)-отражение, Cu K_α излучение.
α=0 (1), -36° (2), -54° (3).

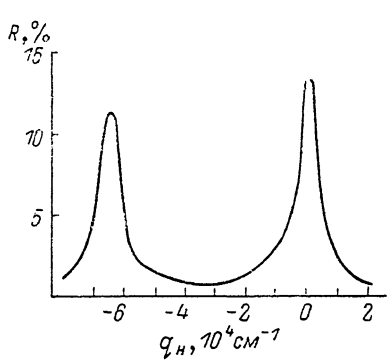


Рис. 6. Распределение интенсивности отражения (333) в обратном пространстве в направлении вектора H для образца GaAlSb/GaSb. t=2 мкм.

поглощения излучение вообще не достигает гетерограницы ($\mu_0 = 1025 \text{ см}^{-1}$, глубина проникновения $\sim 2 \text{ мкм}$), тем не менее на кривых наблюдается один пик, не меняющий своего положения при изменении α , который соответствует уширенному рефлексу от пленки.

Эффект дальнодействия проявляется и в рентгеновской топографии, приводя к так называемой аномальной видимости дислокационных сеток, и объясняется неоднородным распределением дислокаций в сетке, образованием скоплений дислокаций [11].

Отметим, что степень уширения для рефлекса от пленки толщиной 6 мкм меньше, чем для пленки 2 мкм (см. таблицу), что при более или менее равной плотности дислокаций может означать постепенное спадание упругого поля при удалении от гетерограницы.

Уширение кривых в нормальном к H направлении приводит к размазыванию пиков на двухкристальной кривой отражения, так что во многих случаях максимумы от пленки и подложки могут не разрешаться. Для получения более четкой картины отражения целесообразно построить распределение интенсивности вдоль вектора H. Это можно сделать, изменив интегральную интенсивность трехкристальных пиков $I_i = \int i(\alpha) d\alpha$ при разных положениях анализатора. Соответствующая кривая для

одного из образцов $I_i(q_H)$, где $q_H = k \Delta \vartheta \cos \vartheta_B$, приведена на рис. 6. Она является аналогом обычной двухкристальной кривой (рис. 1) и наглядно демонстрирует, как улучшилось разрешение при таком построении. Из сравнения рис. 1 и 5 видно, что присутствие дислокационной сетки практически не влияет на распределение интенсивности вдоль вектора обратной решетки (уширение нет). Поэтому кривая рис. 6 близка к двухкристальной кривой а рис. 1 для образца без дислокационной сетки.

Из кривой $I_i(q_H)$ можно определять относительную разницу в параметрах решетки пленки и подложки в тех случаях, когда по стандартной двухкристальной кривой это сделать затруднительно из-за уширений, обусловленных наличием дислокаций несоответствия. Такой подход имеет еще и то преимущество, что на распределении интенсивности вдоль Н не оказывается возможная макроразориентация пленки относительно подложки, в то время как пики на двухкристальной кривой будут сближаться или удаляться в зависимости от знака угла разориентации.

Таким образом, проведенные измерения показали, что дислокационные сетки несоответствия в гетероструктурах приводят к уширению дифракционной картины в направлении, перпендикулярном вектору обратной решетки, к отличию трехкристальных кривых отражения от аналогичных кривых для бездислокационных структур. Эти эффекты могут быть использованы для обнаружения дислокаций несоответствия и определения деформации в эпитаксиальных структурах.

В заключение авторы выражают благодарность С. С. Рувимову и Л. М. Сорокину за полезные обсуждения, а также А. Т. Гореленко и А. М. Баранову за образцы, предоставленные для исследований.

Л и т е р а т у р а

- [1] Nagai H. // J. Appl. Phys. 1974. V. 45. N 9. P. 3789—3794.
- [2] Oe K., Shinoda J., Sugiyama K. // Appl. Phys. Lett., 1978. V. 33. N 11. P. 962—964.
- [3] Chu S. N. G., Macrander A. T., Stregge K. E., Johnston W. D. // J. Appl. Phys. 1985. V. 57. N 2. P. 249—257.
- [4] Speriosu V. S. // J. Appl. Phys. 1981. V. 52. N 10. P. 6094—6103.
- [5] Кюtt P. H., Мохов Е. Н., Трегубова А. С. // ФТТ, 1981. Т. 23. № 11. С. 3496—3498.
- [6] Farrow R. F. C. // J. Vac. Sci. Technol. 1985. V. A3. N 1. P. 60—66.
- [7] Batterman B. W. // J. Appl. Phys. 1959. V. 30. N 1. P. 508—512.
- [8] Patel J. R., Wagner R. S., Moss S. // Acta Metallurg. 1962. V. 10. N 3. P. 759—764.
- [9] Iida A., Kohra K. // Phys. St. Sol. (a). 1979. V. 51. N 2. P. 533—542.
- [10] Ратников В. В., Кюtt P. H. // ЖТФ. 1985. Т. 55. № 2. С. 391—393.
- [11] Аргунова Т. С., Кусов А. А., Петрашень П. П., Шульцина И. Л. // ЖТФ. 1987. Т. 57. № 6. С. 1114—1120.

Физико-технический институт
им. А. Ф. Иоффе АН СССР
Ленинград

Поступило в Редакцию
24 мая 1988 г.
В окончательной редакции
20 июня 1988 г.